

2020年（令和2年）の 世界の主な異常気象・気象災害（速報）

- 世界各地の広い範囲で異常高温が発生し、各国の月平均気温や季節平均気温の記録更新が頻繁に伝えられました。
- 夏季アジアモンスーン期（5～10月）におけるアジア各国での大雨のほか、東アフリカ中部での大雨、米国南部～中米のハリケーンなどにより、多数の死者を伴う災害が発生しました。

以下に、比較的大きな規模の「異常気象」及び気象が原因となって生じた大きな災害（気象災害）のおおよその地域・時期を示します。表中の番号は図中の番号に対応しています。

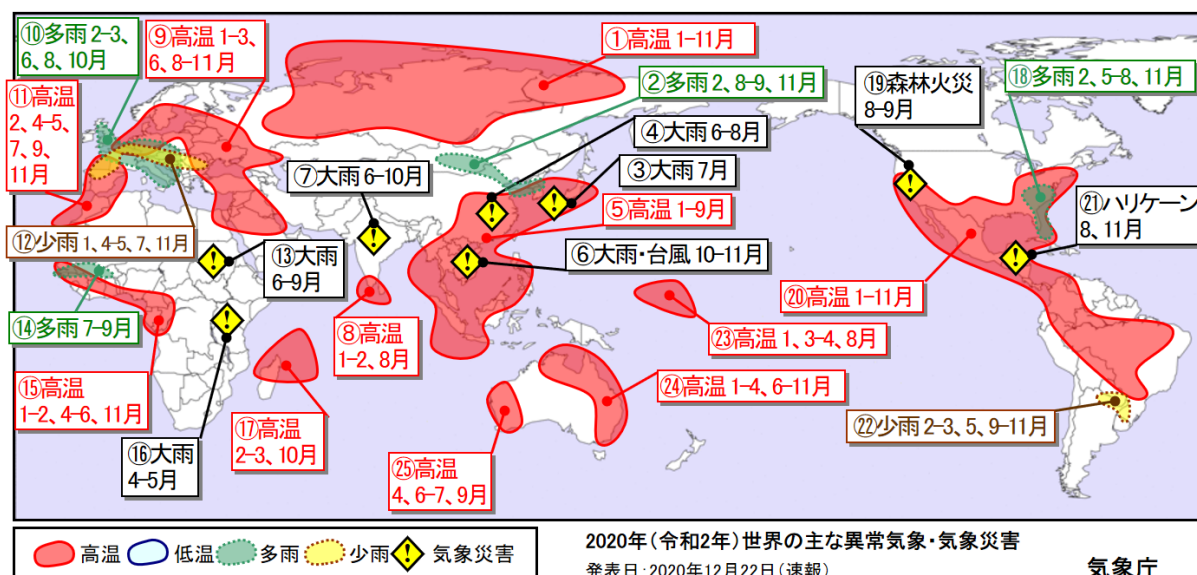


図 2020年（令和2年）異常気象発生地域分布図（速報）

表 2020 年の世界の主な異常気象・気象災害の概要

	異常気象の種類 (発生月)	地域	概況 (括弧内の数値は、気温は平年差、降水量は平年比を示す)
1	高温 (1～11月)	シベリア及び その周辺	<ul style="list-style-type: none"> 中央シベリア中部のビティム：1月の月平均気温-14.4°C ($+14.2^{\circ}\text{C}$)。 東シベリア西部のヤクーツク：2月の月平均気温-28.1°C ($+5.6^{\circ}\text{C}$)。 西シベリア中部のアレクサンドロフスコエ：3～5月の3か月平均気温5.6°C ($+7.4^{\circ}\text{C}$)。 中央シベリア北部のハタング川：6～8月、9～11月の3か月平均気温12.6°C ($+3.4^{\circ}\text{C}$)、-4.9°C ($+6.6^{\circ}\text{C}$)。 ロシアの9月の月平均気温は、9月としては1891年以降で最も高かった(ロシア水文気象センター)。
2	多雨 (2、8～9、 11月)	モンゴル中部 ～朝鮮半島	<ul style="list-style-type: none"> 中国のペキン(北京)：2月の月降水量35mm (795%)。 中国のシャンシー(山西)省タイユワン(太原)：8月の月降水量254mm (248%)。 大韓民国北東部のカンヌン(江陵)：9月の月降水量614mm (263%)。 中国の内モンゴル自治区エレンホト(二連浩特)：11月の月降水量13mm (591%)。
3	大雨 (7月)	東日本～西日本	<ul style="list-style-type: none"> 東日本～西日本では、7月上旬の大雨(「令和2年7月豪雨」)により合計で84人が死亡した(12月3日現在、消防庁)。 東日本太平洋側、西日本日本海側、西日本太平洋側の7月の月降水量は、それぞれ7月としては1946年以降で最も多かった。
4	大雨 (6～8月)	中国	<ul style="list-style-type: none"> 中国では、6～8月に長江中・下流域などで大雨となり、死者と行方不明者が合計で270人以上になったと伝えられた(中国政府)。 中国のフーペイ(湖北)省イーチャン(宜昌)：6～8月の3か月降水量1107mm (189%)。 中国の8月の月降水量は、8月としては1961年以降で最も多かった(中国気象局)。 中国の夏(6～8月)の3か月降水量は、夏としては1961年以降で2番目に多かった(中国気象局)。
5	高温 (1～9月)	東アジア東部 ～東南アジア	<ul style="list-style-type: none"> 中国(香港)のカオルン(九竜)：1月の月平均気温18.1°C ($+2.0^{\circ}\text{C}$)。 大韓民国南部のチェジュ(済州)：2月の月平均気温9.1°C ($+2.7^{\circ}\text{C}$)。 タイ北部のチェンマイ：3～5月の3か月平均気温30.4°C ($+2.0^{\circ}\text{C}$)。 ラオスのビエンチャン：6～8月の3か月平均気温28.9°C ($+0.7^{\circ}\text{C}$)。 フィリピン中部のレガスピ：9月の月平均気温29.2°C ($+1.5^{\circ}\text{C}$)。 韓国の1月、6月の月平均気温は、それぞれの月としては1973年以降で最も高かった(韓国気象局)。 香港の1月、7月の月平均気温は、それぞれの月としては1885年以降で最も高かった(香港天文台)。

	異常気象の種類 (発生月)	地域	概況 (括弧内の数値は、気温は平年差、降水量は平年比を示す)
6	大雨・台風 (10～11月)	フィリピン～ インドシナ半 島	<ul style="list-style-type: none"> ・フィリピン～インドシナ半島では、10～11月の大雨や台風第15号、第16号、第17号、第18号、第19号、第22号により、合計で340人以上が死亡したと伝えられた(フィリピン政府、ベトナム政府、欧州委員会)。 ・ラオス南部のサバナケット：10月の月降水量263mm(239%)。
7	大雨 (6～10月)	南アジア及び その周辺	<ul style="list-style-type: none"> ・南アジア及びその周辺では、6～10月の大雨により合計で2700人以上が死亡したと伝えられた(インド政府、ネパール政府、パキスタン政府、EM-DAT)。
8	高温 (1～2、8月)	インド南部～ スリランカ	<ul style="list-style-type: none"> ・インド南部のマチリパトナム：1月の月平均気温26.5℃(+2.0℃)。 ・スリランカ南西部のコロンボ：2月の月平均気温29.2℃(+1.9℃)。 ・インド南部のティルバナタプーラム：8月の月平均気温27.9℃(+1.0℃)。
9	高温 (1～3、6、 8～11月)	ヨーロッパ北 部～中東中部	<ul style="list-style-type: none"> ・ノルウェーのオスロ：1月、11月の月平均気温1.9℃(+7.1℃)、4.1℃(+4.4℃)。 ・ドイツ南西部のザールブリュッケン：2月の月平均気温5.8℃(+4.1℃)。 ・ロシアのモスクワ：3月の月平均気温3.8℃(+4.8℃)。 ・トルコ北東部のギュミュシャネ：6月の月平均気温19.2℃(+1.7℃)。 ・サウジアラビア東部のダンマム：8月の月平均気温37.1℃(+0.9℃)。 ・バーレーンのバーレーン：9月の月平均気温34.8℃(+2.2℃)。 ・トルコのアンカラ：9～11月の3か月平均気温15.9℃(+3.0℃)。 ・デンマークの1月の月平均気温は、1月としては1874年以降で最も高かった(デンマーク気象局)。 ・バーレーンの9月の月平均気温は、9月としては1902年以降で最も高かった(バーレーン気象局)。 ・トルコの9月、10月の月平均気温は、それぞれの月としては1971年以降で最も高かった(トルコ気象局)。
10	多雨 (2～3、6、 8、10月)	ヨーロッパ西 部～南部	<ul style="list-style-type: none"> ・ドイツ南部のアウクスブルク：2月の月降水量99mm(284%)。 ・ギリシャ北部のテッサロニキ(マケドニア空港)：3月の月降水量99mm(293%)。 ・フランス中部のルピュイ：6月の月降水量171mm(252%)。 ・イタリア南東部のマリナーディジョイオサ：8月の月降水量73mm(745%)。 ・英国北部のキンロス：10月の月降水量165mm(225%)。 ・英国の2月の月降水量は、2月としては1862年以降で最も多かった(英国気象局)。

	異常気象の種類 (発生月)	地域	概況 (括弧内の数値は、気温は平年差、降水量は平年比を示す)
11	高温 (2、4～5、 7、9、11月)	ヨーロッパ西部～北アフリカ西部	<ul style="list-style-type: none"> ・フランス南部のモンペリエ：2月の月平均気温11.6℃(+3.7℃)。 ・スペイン北部のサンタンデル：4月の月平均気温14.8℃(+2.3℃)。 ・モロッコ北部のカサブランカ：5月の月平均気温20.3℃(+1.8℃)。 ・スペイン南部のコルドバ：7月の月平均気温30.7℃(+2.6℃)。 ・モロッコ北部のミデル：9月の月平均気温23.7℃(+3.7℃)。 ・スペイン南部のグラナダ空港：11月の月平均気温13.1℃(+2.8℃)。 ・スペインの5月の月平均気温は、5月としては1965年以降でも高かった(スペイン気象局)。
12	少雨 (1、4～5、 7、11月)	ヨーロッパ東部～南西部	<ul style="list-style-type: none"> ・ブルガリア東部のバルナ：1月の月降水量1mm(2%)。 ・ドイツ南部のシュトゥットガルト：4月の月降水量2mm(4%)。 ・フランス南西部のグールドン：5月の月降水量31mm(37%)。 ・フランス南西部のボルドー・メリニャック：7月の月降水量3mm(6%)。 ・ハンガリー南西部のノジコニジョ：11月の月降水量11mm(19%)。
13	大雨 (6～9月)	イエメン西部、スーダン、ニジェール	・イエメン西部では6～8月の、スーダン、ニジェールでは6～9月の大雨により合計で370人以上が死亡したと伝えられた(国連難民高等弁務官事務所、EM-DAT)。
14	多雨 (7～9月)	西アフリカ中部～西部	<ul style="list-style-type: none"> ・マリ南西部のニオロデュサヘル：7月の月降水量256mm(225%)。 ・セネガル南西部のジギンショール：8月の月降水量837mm(208%)。 ・セネガル北東部のマタム：9月の月降水量230mm(217%)。
15	高温 (1～2、4～ 6、11月)	西アフリカ西部～中部アフリカの西部	<ul style="list-style-type: none"> ・コンゴ共和国のブラザビル：1月の月平均気温27.0℃(+1.1℃)。 ・セネガルのダカル：2月の月平均気温24.4℃(+3.7℃)。 ・マリ南西部のキータ：4月の月平均気温34.6℃(+1.6℃)。 ・中央アフリカ西部のブアル：5月の月平均気温24.0℃(+1.2℃)。 ・ニジェール南東部のンギグミ：6月の月平均気温35.3℃(+2.1℃)。 ・トーゴ南部のアタクパメ：11月の月平均気温28.0℃(+1.6℃)。
16	大雨 (4～5月)	東アフリカ中部及びその周辺	・東アフリカ中部及びその周辺では、4～5月の大雨により合計で500人以上が死亡したと伝えられた(欧州委員会、EM-DAT)。
17	高温 (2～3、10 月)	マダガスカル北部及びその周辺	<ul style="list-style-type: none"> ・マダガスカル北西部のマハジャンガ：2月の月平均気温28.6℃(+1.3℃)。 ・セイシエルのセイシエル国際空港：3月の月平均気温29.2℃(+1.1℃)。 ・マダガスカル東部のトアマシナ：10月の月平均気温24.2℃(+1.1℃)。

	異常気象の種類 (発生月)	地域	概況 (括弧内の数値は、気温は平年差、降水量は平年比を示す)
18	多雨 (2、5～8、 11月)	米国東部～南 東部	<ul style="list-style-type: none"> ・米国のテネシー州ノックスビル：2月の月降水量291mm (270%)。 ・米国のイリノイ州シカゴ：5月の月降水量242mm (260%)。 ・米国のバージニア州ワシントン・ナショナル空港：6～8月の3か月降水量476mm (180%)。 ・米国のノースカロライナ州シャーロット：11月の月降水量170mm (220%)。
19	森林火災 (8 ～9月)	米国西部	<ul style="list-style-type: none"> ・米国西部では、8～9月の森林火災により合計で30人以上が死亡したと伝えられた (米国政府)。 ・カリフォルニア州では、8月に発生した“August Complex”により約100万エーカー (約4180平方キロメートル) の森林が焼失し、同州としては1932年以降で最大の焼失面積になったと伝えられた (カリフォルニア州政府)。
20	高温 (1～11月)	北米南部～南 米中部	<ul style="list-style-type: none"> ・メキシコ南東部のコミタンデドミンゲス：1月の月平均気温17.4℃ (+1.9℃)。 ・エクアドル東部のヌエボロカフエルテ：2月の月平均気温27.0℃ (+1.4℃)。 ・ジャマイカ北西部のモンテゴベイ：3～5月の3か月平均気温27.7℃ (+1.1℃)。 ・ブラジル北部のマナウス：6～8月の3か月平均気温28.9℃ (+1.9℃)。 ・米国のネバダ州ラスベガス：9～11月の3か月平均気温22.9℃ (+2.5℃)。 ・米国北東部の7月の月平均気温は、7月としては1895年以降で最も高かった (米国海洋大気庁)。 ・米国西部と南西部の8月の月平均気温は、ともに8月としては1895年以降で最も高かった (米国海洋大気庁)。 ・米国西部の9月の月平均気温は、9月としては1895年以降で最も高かった (米国海洋大気庁)。 ・米国南西部の夏 (6～8月) と米国西部の秋 (9～11月) の3か月平均気温は、それぞれの季節としてはともに1895年以降で最も高かった (米国海洋大気庁)。
21	ハリケーン (8、11月)	米国南部～中 米	<ul style="list-style-type: none"> ・米国南部～中米では、8月のハリケーン「LAURA」や11月のハリケーン「ETA」、「IOTA」により合計で360人以上が死亡したと伝えられた (米国政府、国連人道問題調整事務所、欧州委員会)。
22	少雨 (2～3、5、 9～11月)	アルゼンチン 北部～ブラジ ル南部	<ul style="list-style-type: none"> ・アルゼンチン北部のリバダビア：2月の月降水量24mm (21%)。 ・ブラジル南部のバジェ：3月の月降水量13mm (8%)。 ・アルゼンチン北部のラスロミタス：5月の月降水量0mm (5月の月降水量平年値65.3mm)。 ・パラグアイのアスンシオン：9月の月降水量2mm (3%)。 ・アルゼンチン北東部のイグアス：9～11月3か月降水量129mm (21%)
23	高温 (1、3～4、 8月)	ミクロネシア 南東部及びそ の周辺	<ul style="list-style-type: none"> ・キリバスのタラワ：1月、3月、4月、8月の月平均気温29.2℃ (+1.1℃)、28.9℃ (+1.0℃)、29.3℃ (+1.4℃)、28.8℃ (+0.8℃)。

	異常気象の種類 (発生月)	地域	概況 (括弧内の数値は、気温は平年差、降水量は平年比を示す)
24	高温 (1～4、6～11月)	オーストラリア北部～南東部	<ul style="list-style-type: none"> ・オーストラリア東部のモーリー：1月の月平均気温30.3℃(+3.6℃)。 ・オーストラリア北東部のロックハンプトン：2月の月平均気温28.6℃(+2.1℃)。 ・オーストラリア北部のニュールンバイ／ゴヴ空港：3月の月平均気温28.5℃(+1.3℃)。 ・オーストラリア北東部のマッカイ：4月の月平均気温25.3℃(+1.7℃)。 ・オーストラリア東部のブリズベン：6～8月の3か月平均気温16.3℃(+1.0℃)。 ・オーストラリア南東部のシドニー：9～11月の3か月平均気温19.9℃(+1.8℃)。 ・オーストラリアの春(9～11月)の3か月平均気温は、春としては1910年以降で最も高かった(オーストラリア気象局)。
25	高温 (4、6～7、9月)	オーストラリア西部	<ul style="list-style-type: none"> ・オーストラリア西部のリアマンス：4月の月平均気温29.1℃(+2.5℃)。 ・オーストラリア西部のミーカサラ：6月の月平均気温16.7℃(+2.5℃)。 ・オーストラリア西部のカーナーボン：7月の月平均気温19.1℃(+2.7℃)。 ・オーストラリア西部のポートヘッドランド：9月の月平均気温27.1℃(+3.5℃)。

- ◇ 異常気象：ある場所において30年に1回以下のまれな頻度¹で発生する現象を指します。本資料では月平均気温や月降水量から異常と判断した現象が1年のうち3か月以上繰り返された場合に、地理的広がりも考慮しつつ取り上げています。
- ◇ 災害情報：米国国際開発庁海外災害援助局及びルーベンカトリック大学災害疫学研究所(ベルギー)による災害データベース(EM-DAT)や各国政府機関、国連、欧州委員会等の発表に基づき、人的被害や経済的損失の大きさ、地理的広がりを考慮して取り上げています。

※本資料は、世界各国の1～11月までの観測データ及び災害情報をもとに、速報としてまとめたものです。12月までの観測データによる資料は、令和3年1月中旬に気象庁の世界の異常気象のホームページ(下記URL)で発表します。

https://www.data.jma.go.jp/gmd/cpd/monitor/extreme_world/index.html

¹ 統計期間は1981～2010年の30年間。

※世界の天候や異常気象に関する最新の情報は、気象庁ホームページでご覧になれます。

【世界の天候】

<https://www.data.jma.go.jp/gmd/cpd/monitor/index.html>



【世界の天候】

【世界の異常気象】

https://www.data.jma.go.jp/gmd/cpd/monitor/extreme_world/index.html



【世界の異常気象】